

# Les risques associés au stress hydrique pour les forêts de l'arc méditerranéen



Hendrik Davi

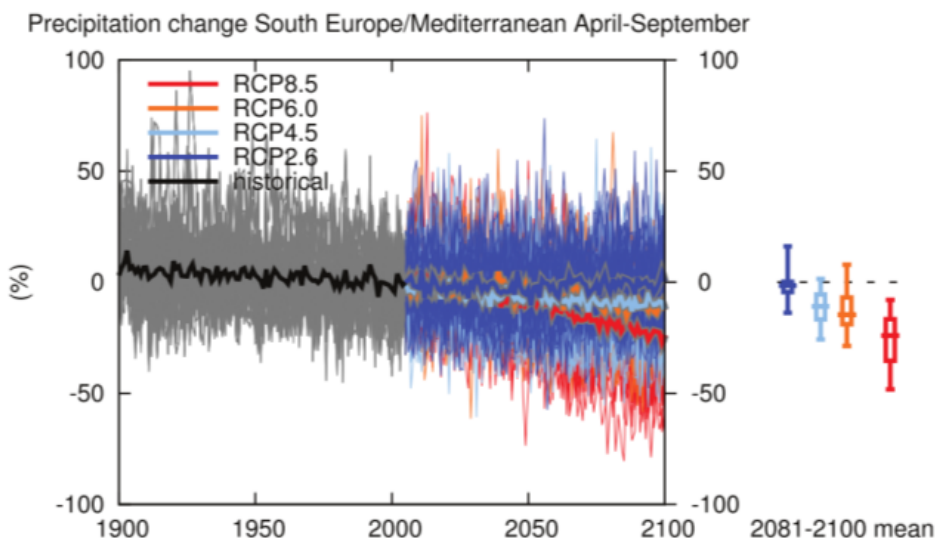
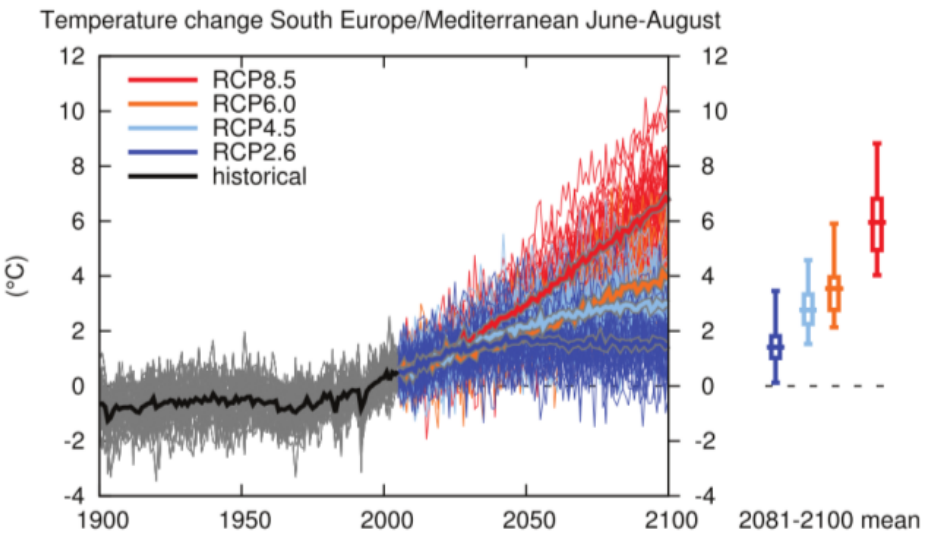
Nicolas Martin

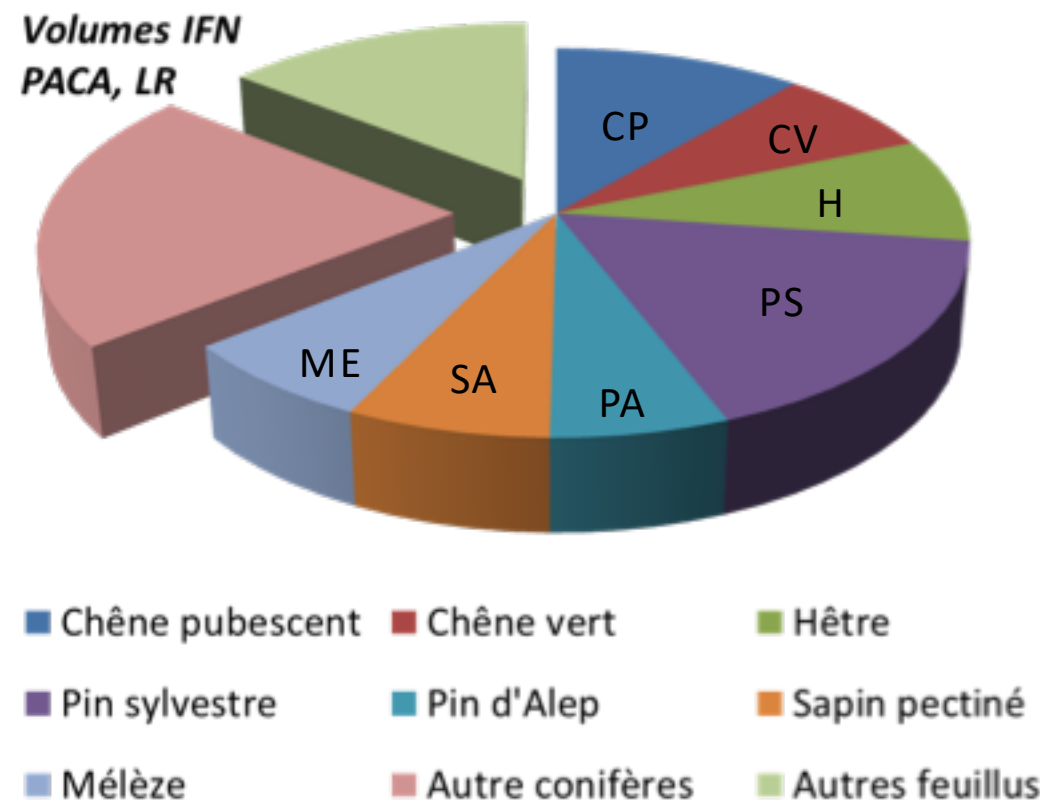
Guillaume Simioni

# PLAN

1. Introduction
2. Stress hydrique
3. Croissance
4. Mortalité
5. Séquestration de carbone
6. Feux
7. Conclusion

↗ 0.88°C depuis 1860  
↘ 23 mm depuis 1902  
↗ fortes sécheresses depuis 500 ans



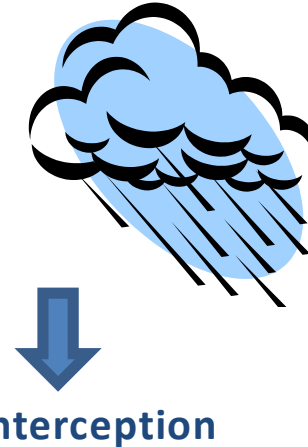


**Étage méditerranéen:** Pin d'Alep, Chêne vert  
**Étage supra-méditerranéen:** Chêne pubescent, Cèdre  
**Étage montagnard:** Hêtre, Sapin, Pin Sylvestre, Mélèze

Demande évaporative



Apport en Eau



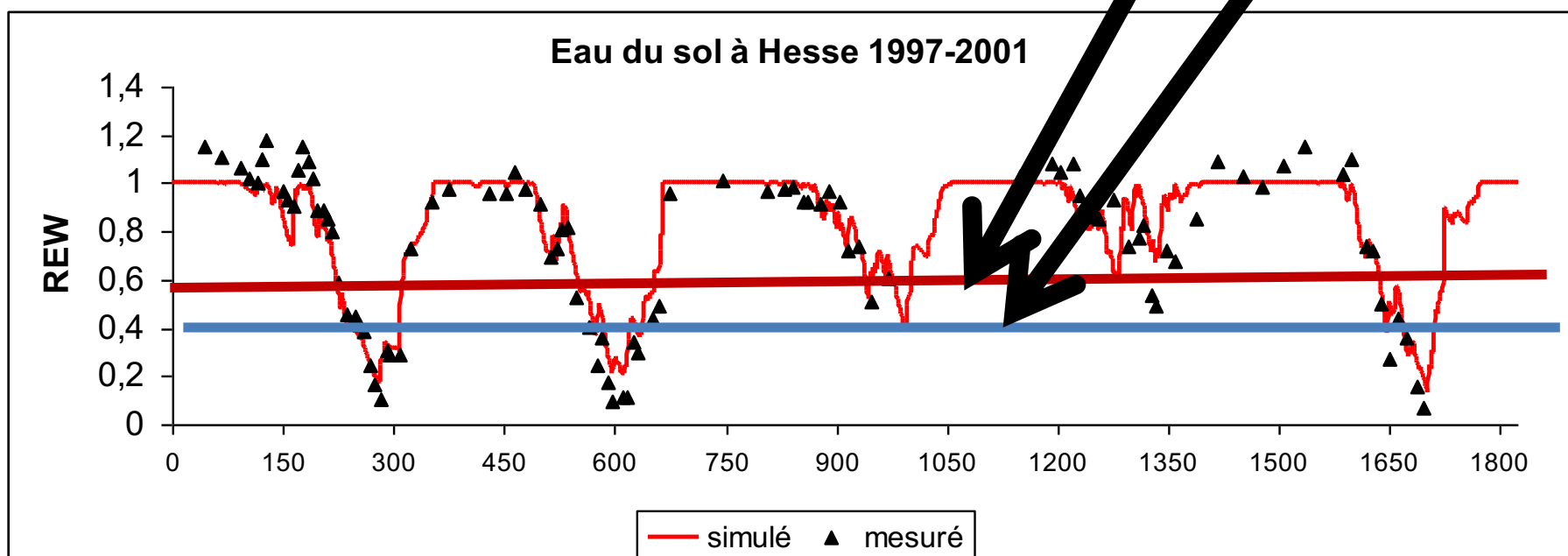
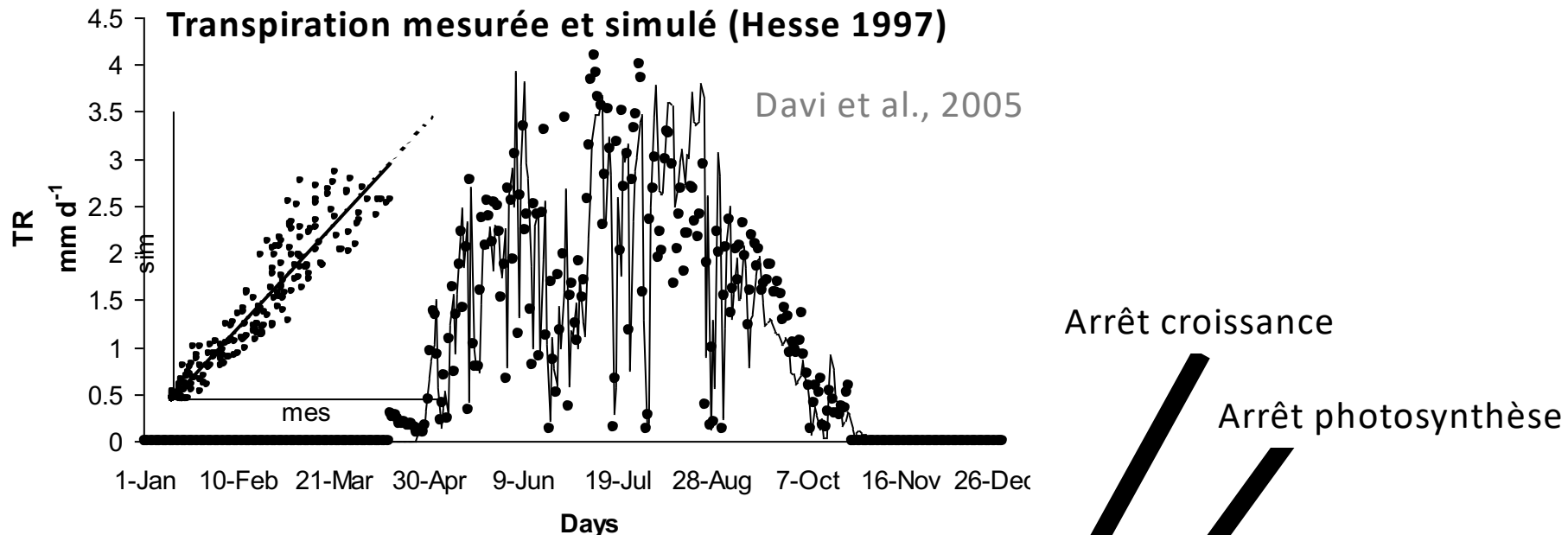
Evaporation du couvert

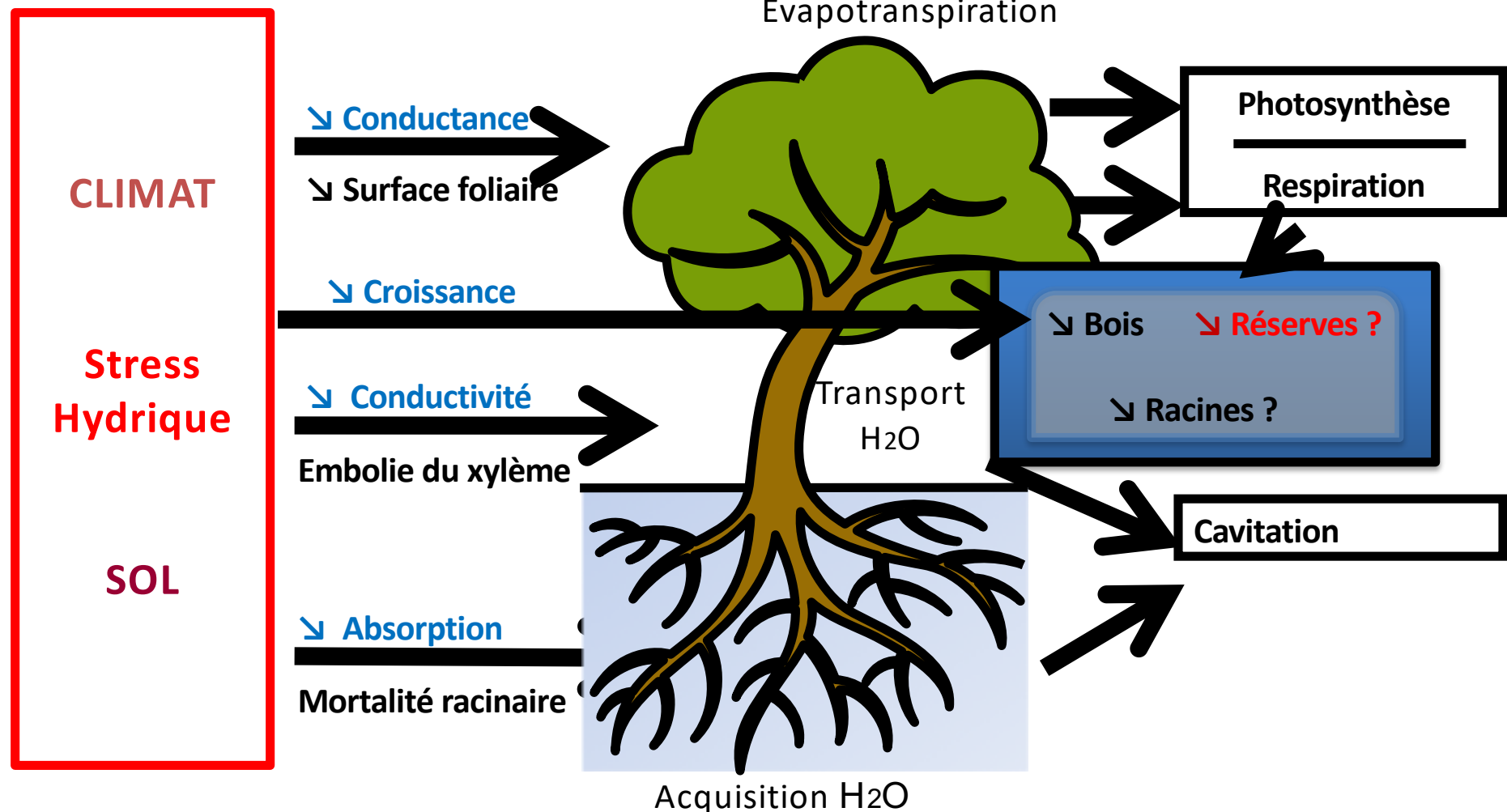
Transpiration

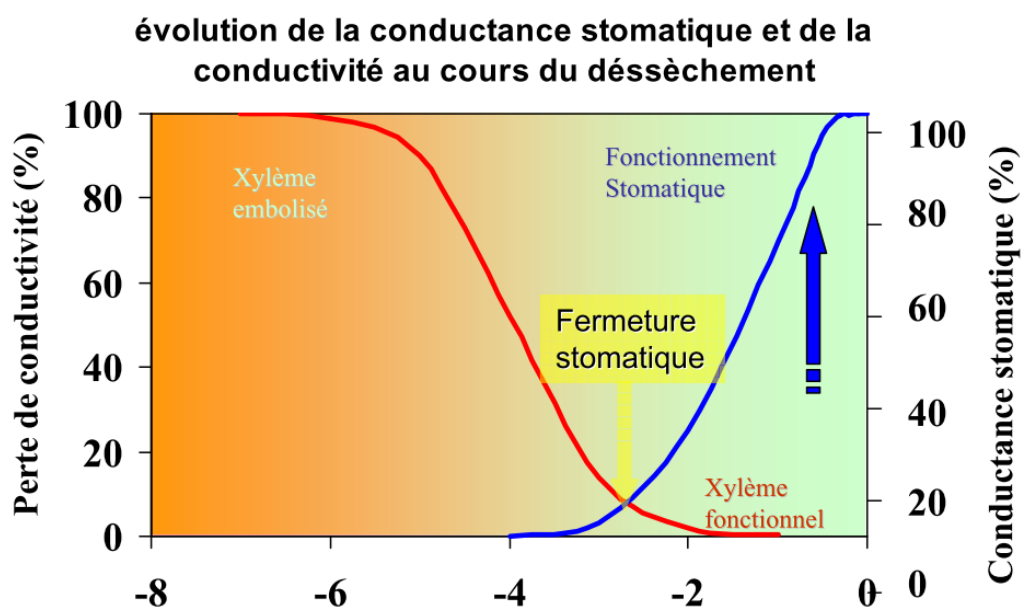
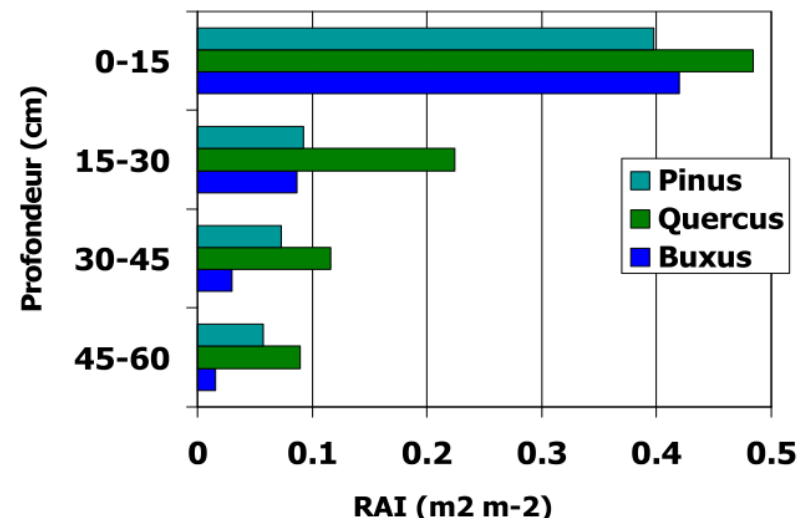
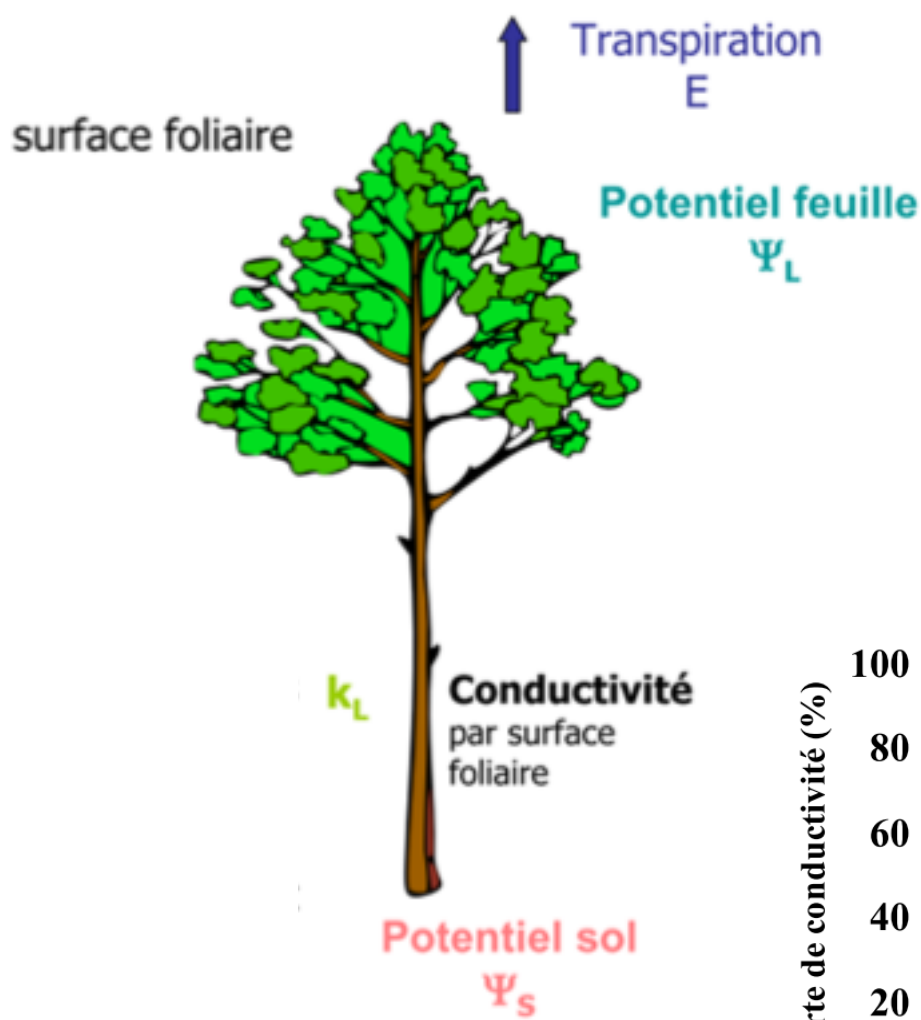
Evaporation du sol

Réserve utile









# Impact du stress hydrique sur la croissance

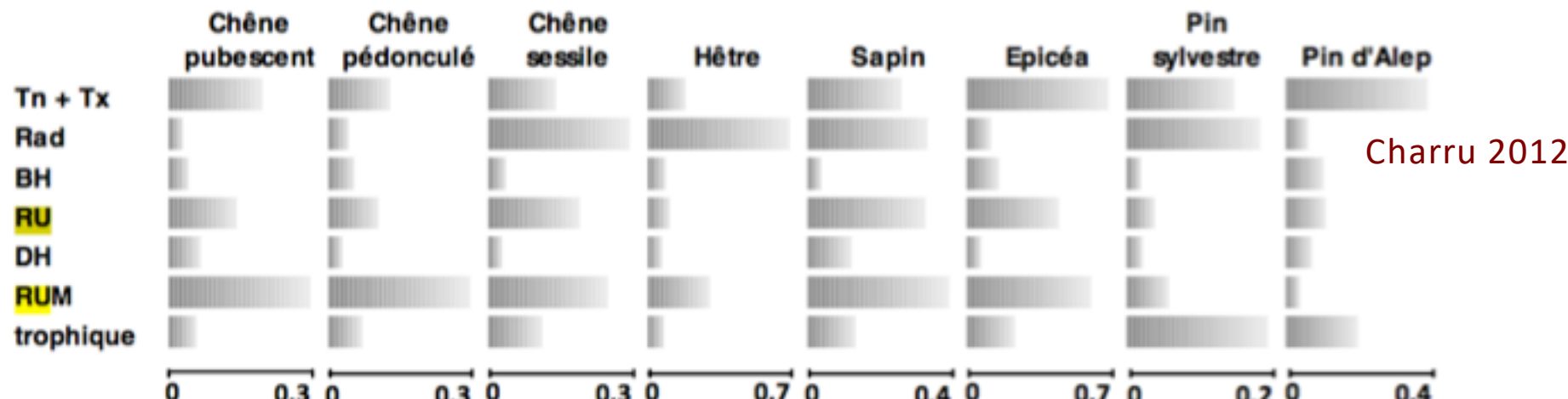
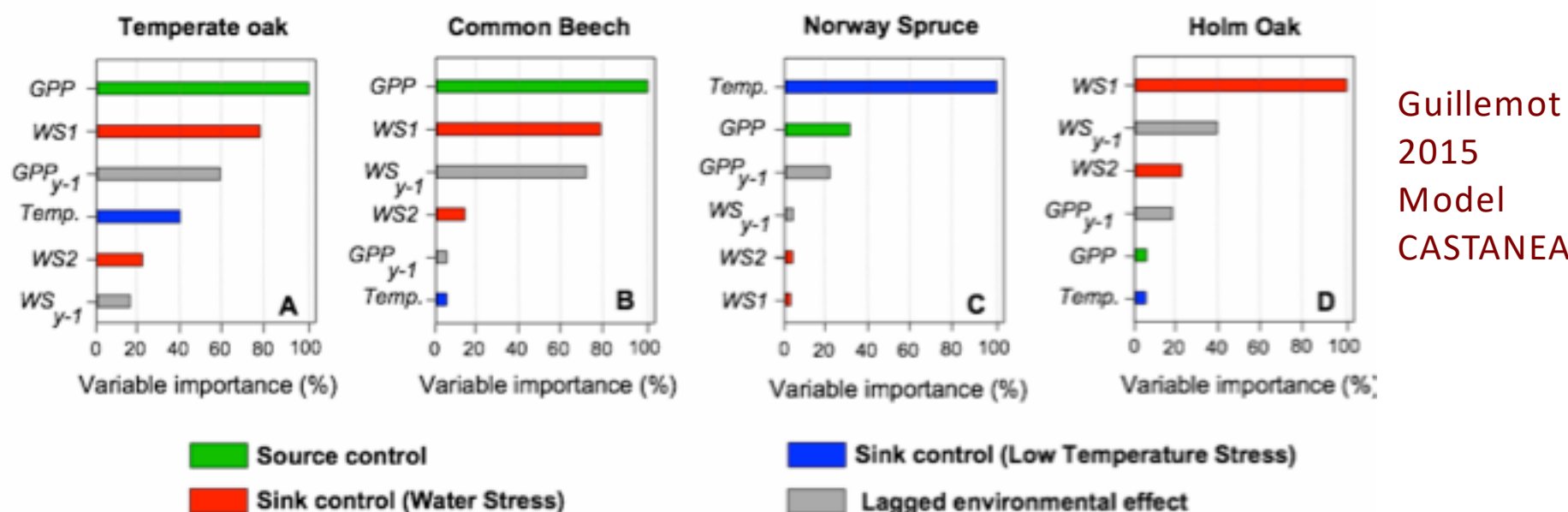


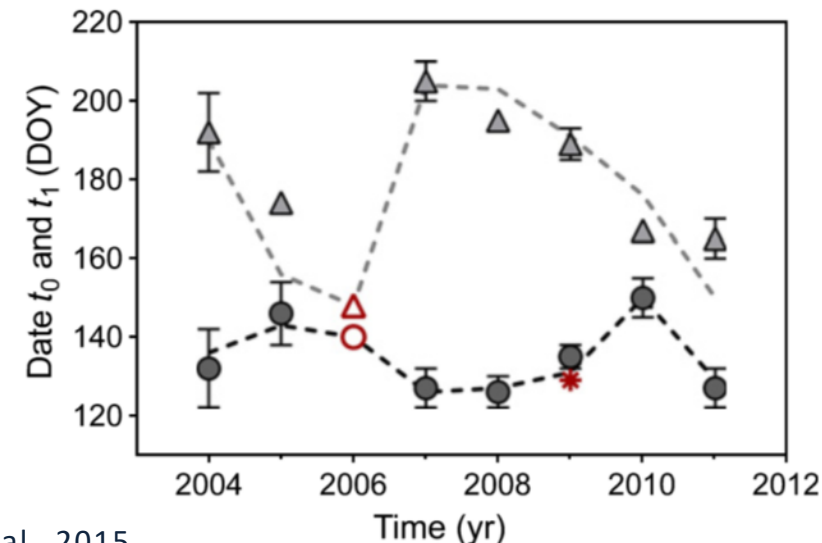
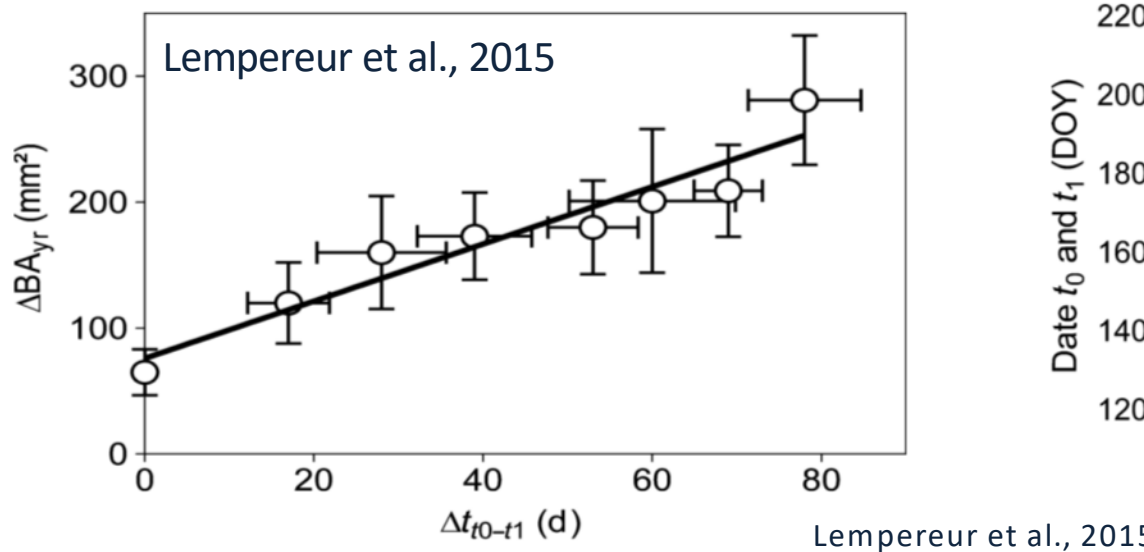
Tableau 3.4 : Contributions relatives des grandes familles de variables à l'explication de la productivité



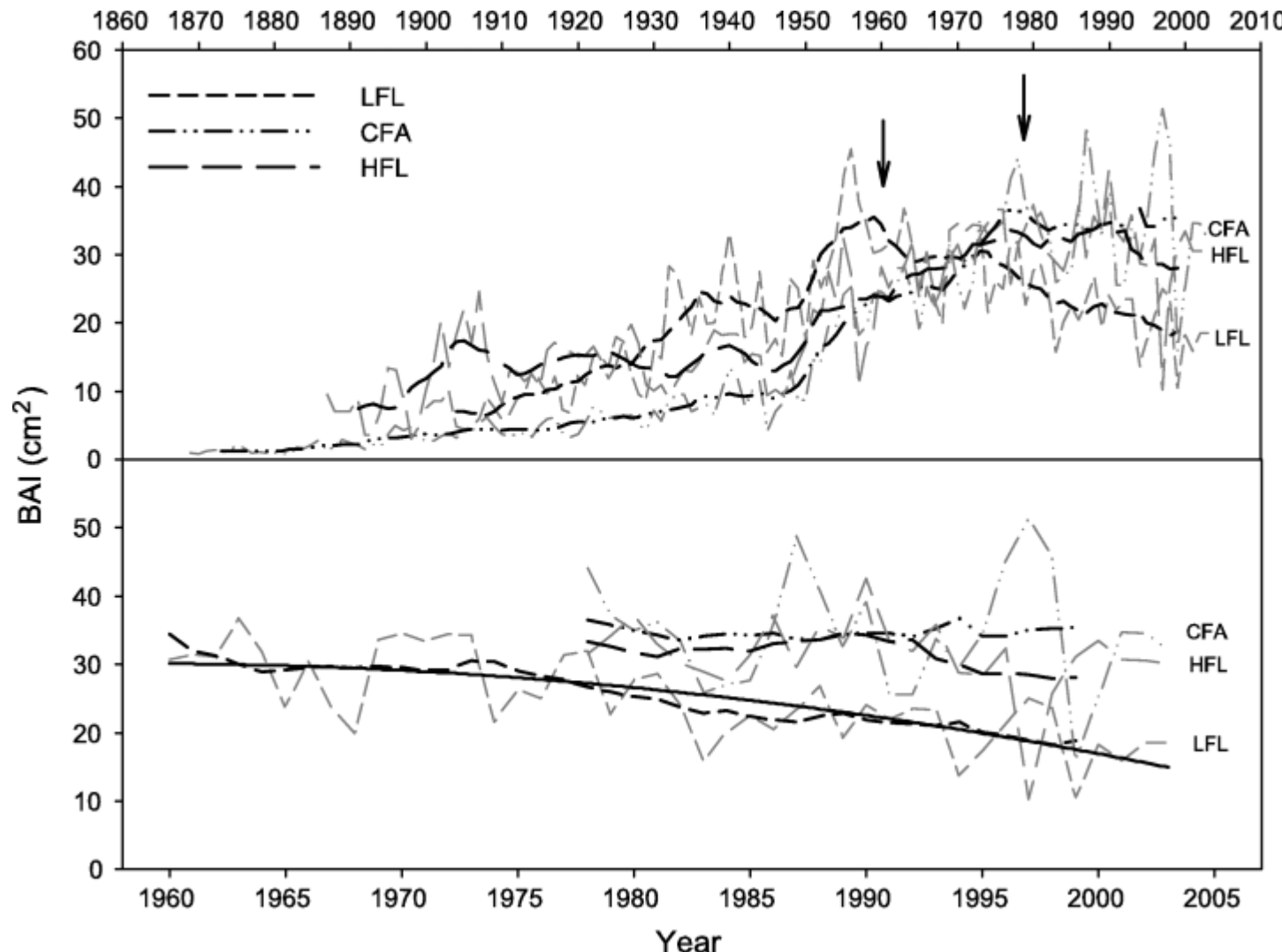
## Phénologie de la croissance du Chêne vert

$T_0$ = début de croissance = $f$ (Température printemps)

$T_1$ = fin de croissance =  $f$ (sécheresse estivale)



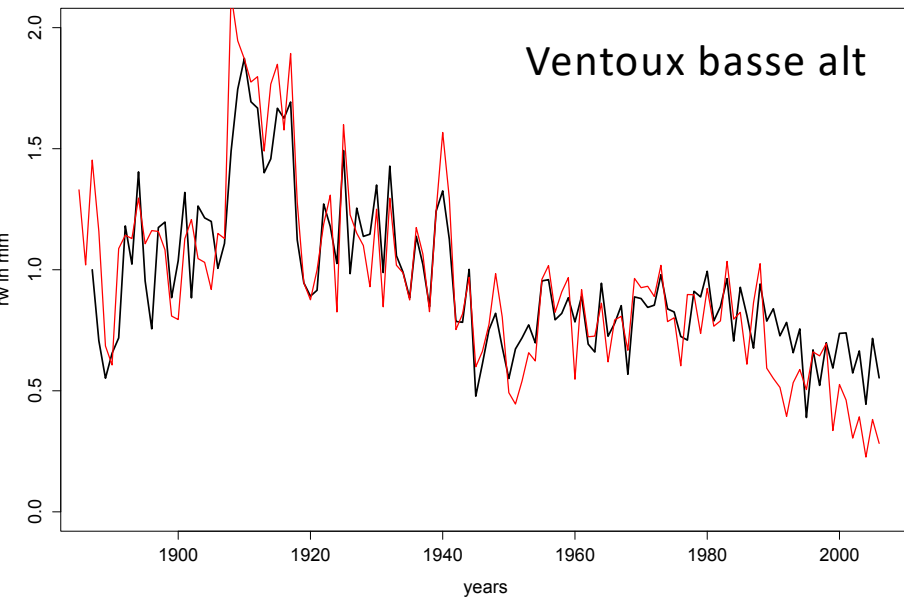
## Impact du stress hydrique sur la croissance



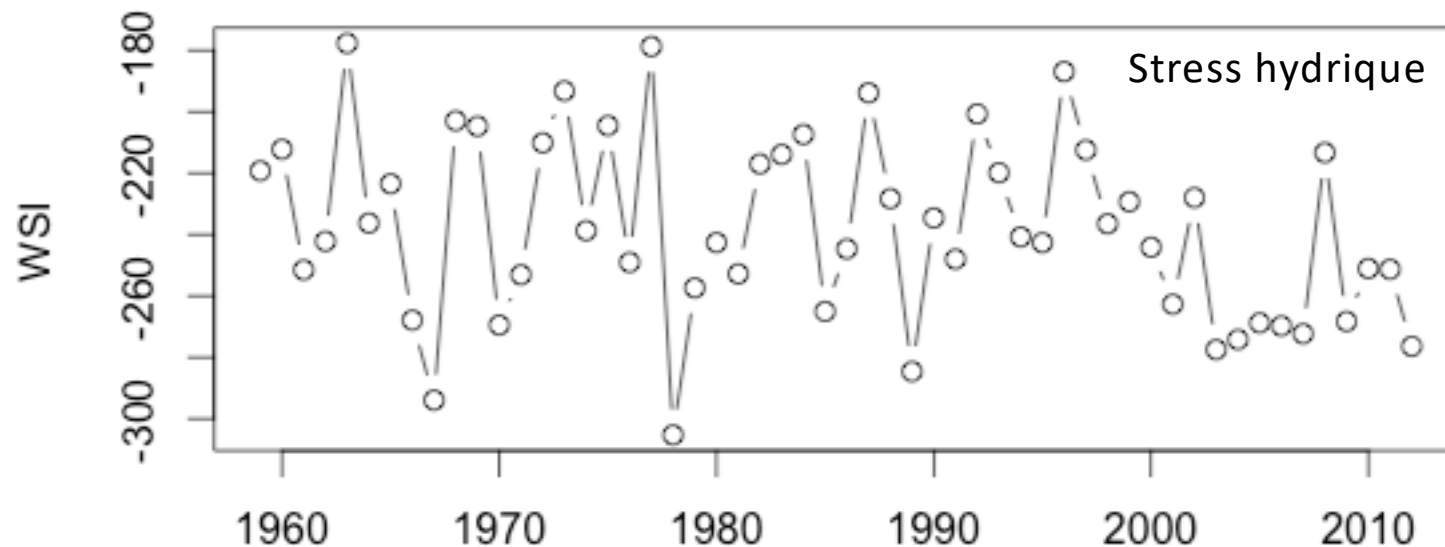
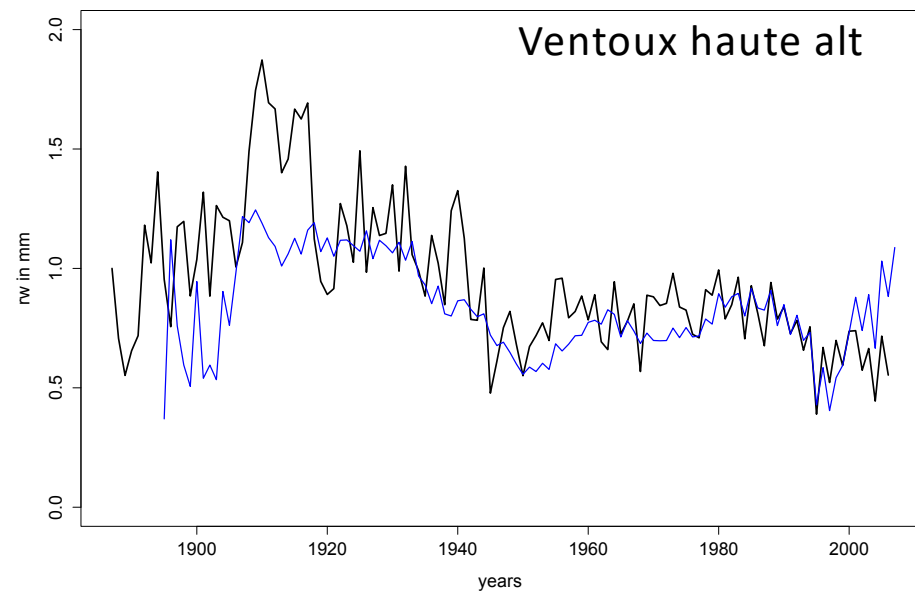
CFA: Intermédiaire, LFL: basse altitude, HFL Haute altitude

# Impact du stress hydrique sur la croissance

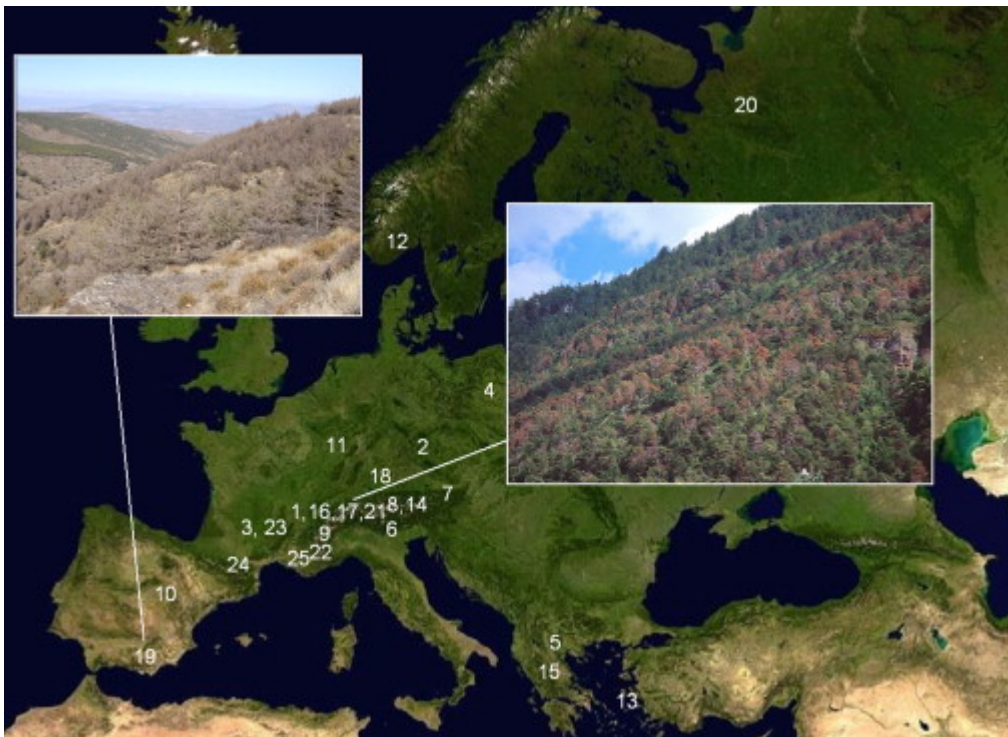
comparison ECOGER (all elevation) - N1



comparison ECOGER (all elevation) - N4

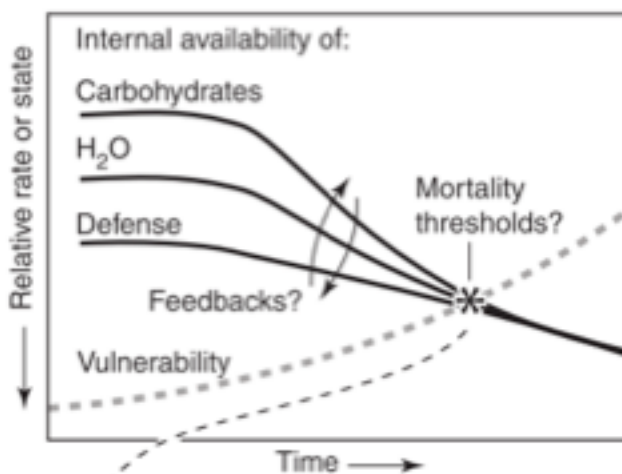


# Impact du stress hydrique sur la mortalité



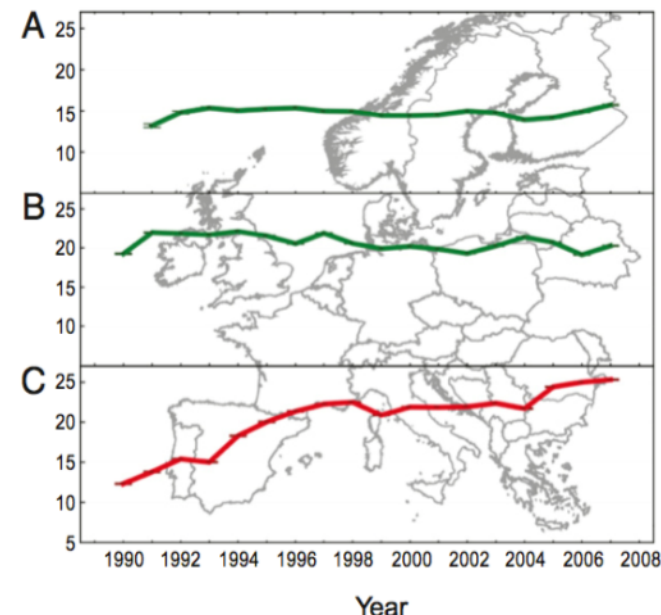
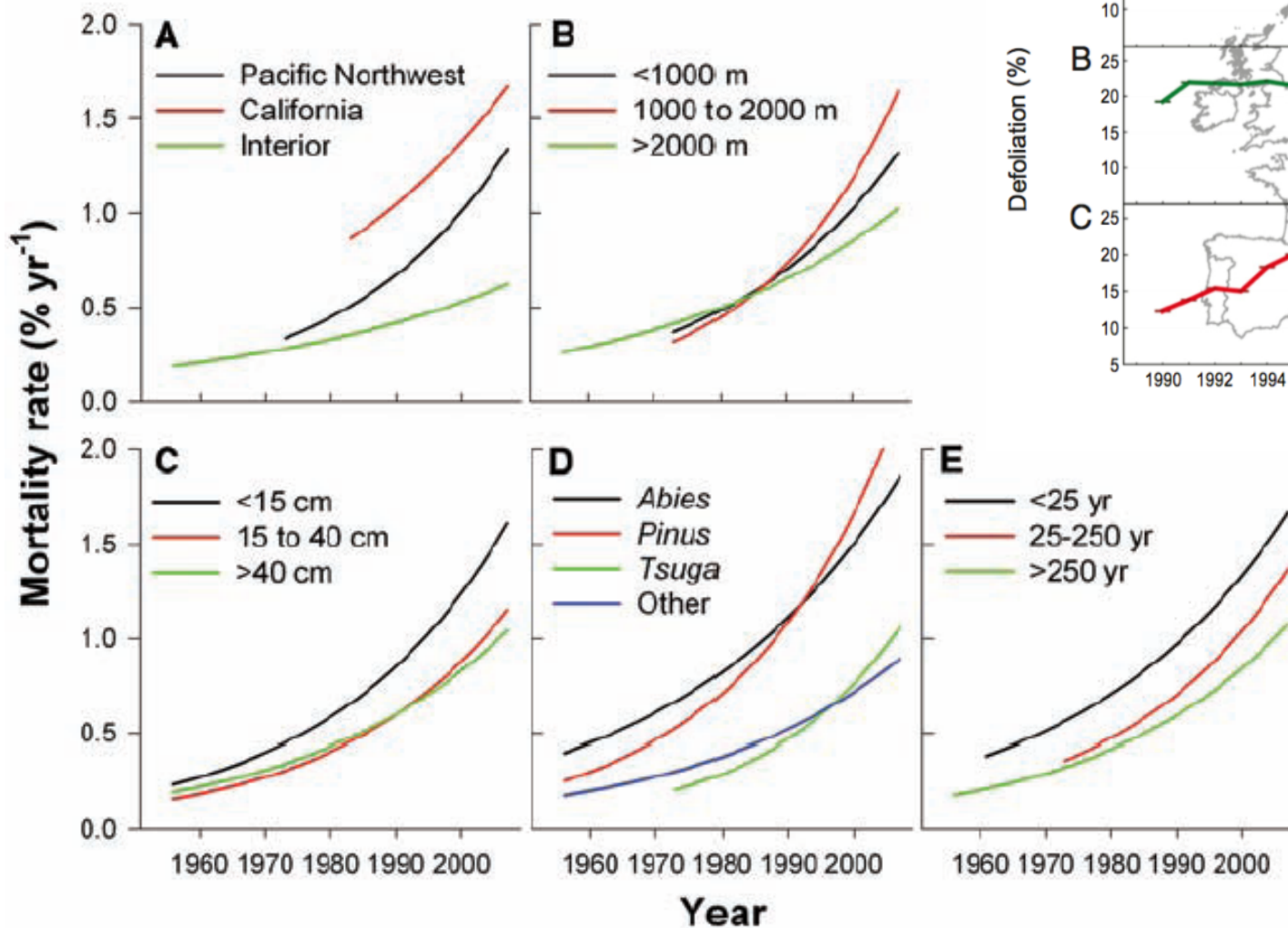
Allen et al., 2008

(a)



# Impact du stress hydrique sur la mortalité

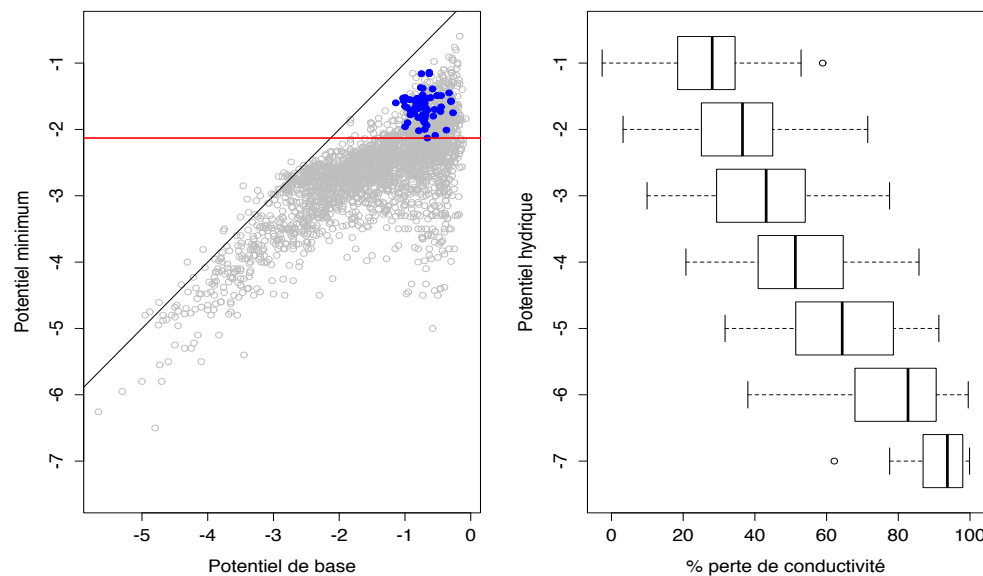
Evolution des taux de mortalité chez les arbres selon (A) les régions, (B) l'altitude, (C) le diamètre, (D) le genre, (E) le temps depuis le dernier incendie (van Mantgem et al. 2009).



Carnicer et al., 201

# Impact du stress hydrique sur la mortalité

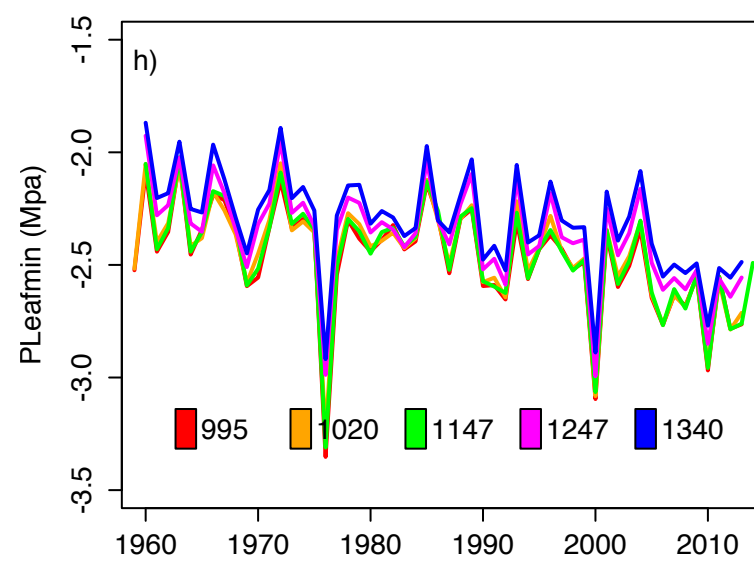
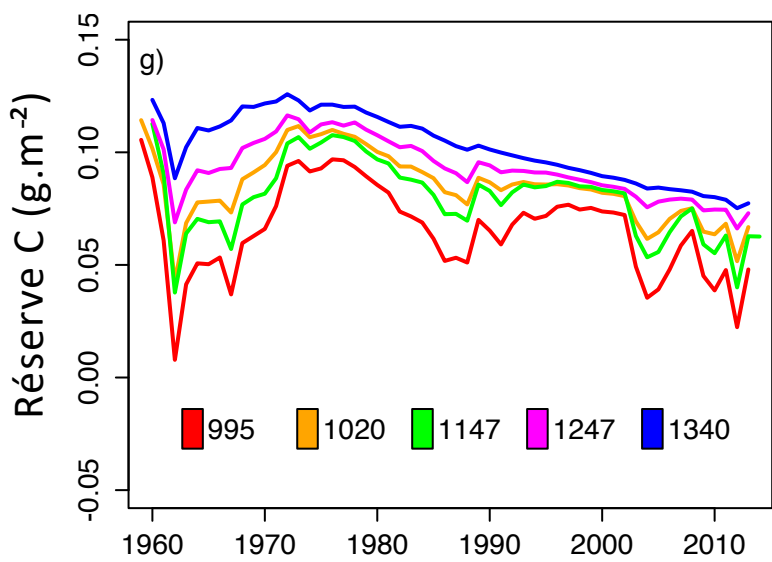
## Mesures de P50



## Mesures de mortalité

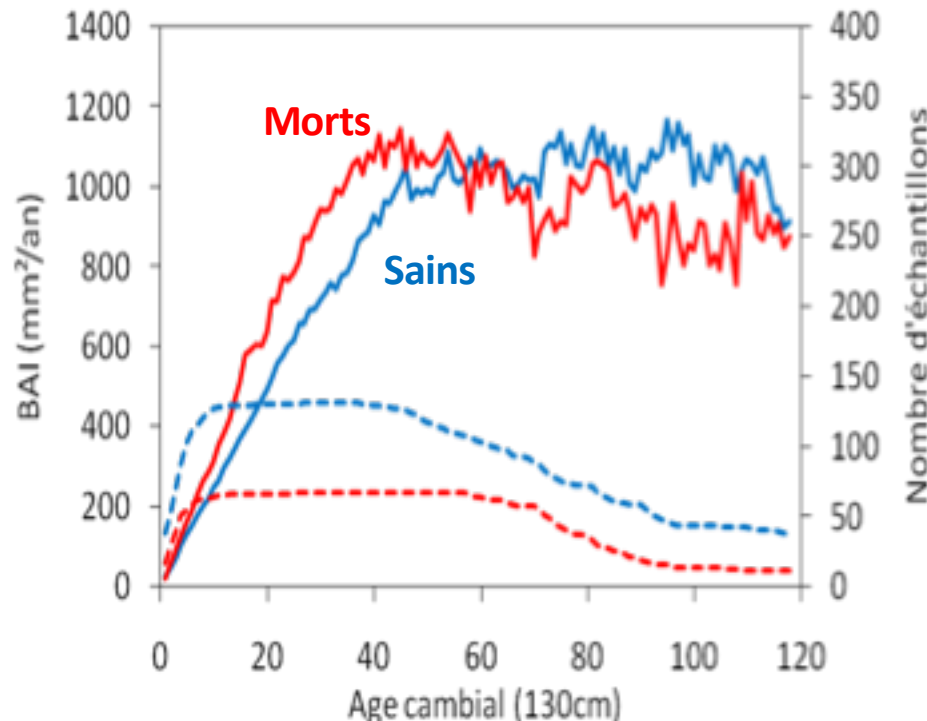
Inventory	Health survey
2008	2008
DVX1	0.23
DVX2	0.13
DVX3	0.02
CLT	0.25
DVX4	0.04
DVX5	0.005
	0

## Simulations CASTANEA



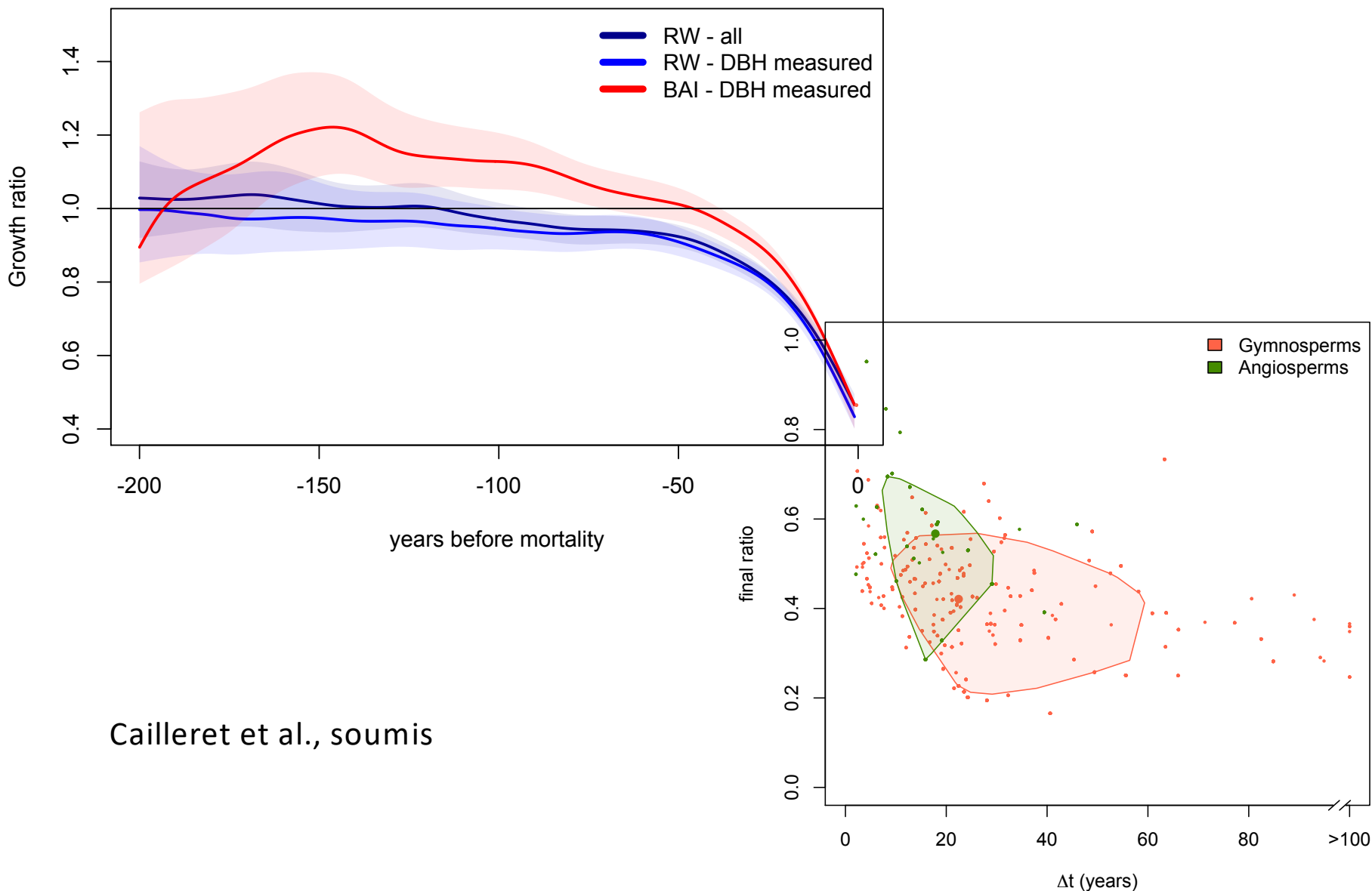
Davi & Cailleret, en révision

## Impact du stress hydrique sur la mortalité

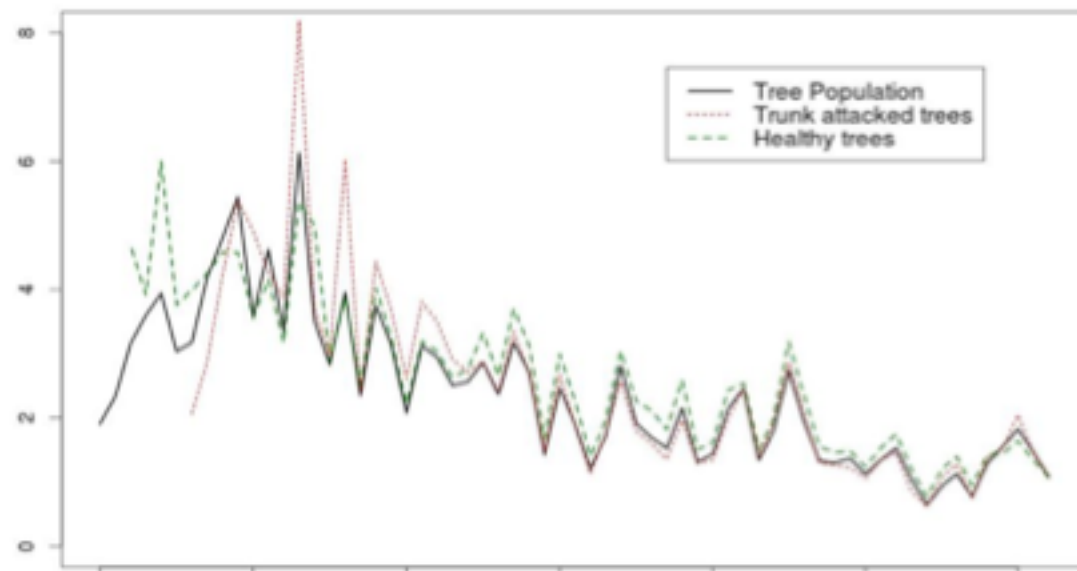


- Sapins morts ont une meilleure croissance que les sains dans les stades juvéniles
- Sensibilité au climat plus forte quand sol « plus favorable »
- Deux hypothèses: (1) plasticité racinaire, (2) croissance rapide => plus grande vulnérabilité

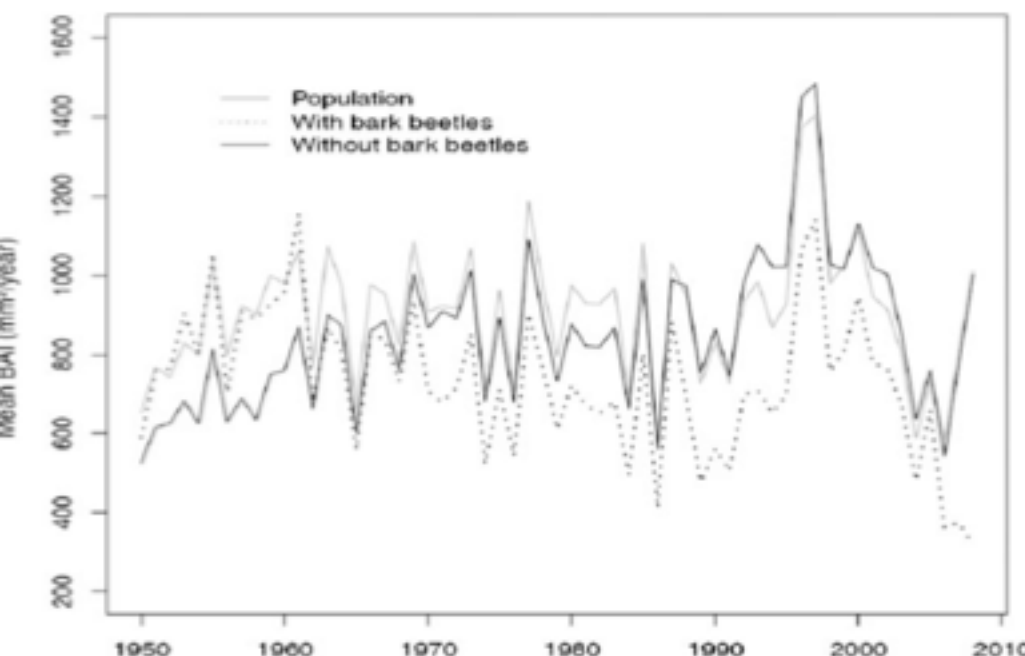
# Impact du stress hydrique sur la mortalité



# Impact du stress hydrique sur la mortalité: effet des scolytes



Croissance passée de pin d'Alep attaqués ou non par des scolytes

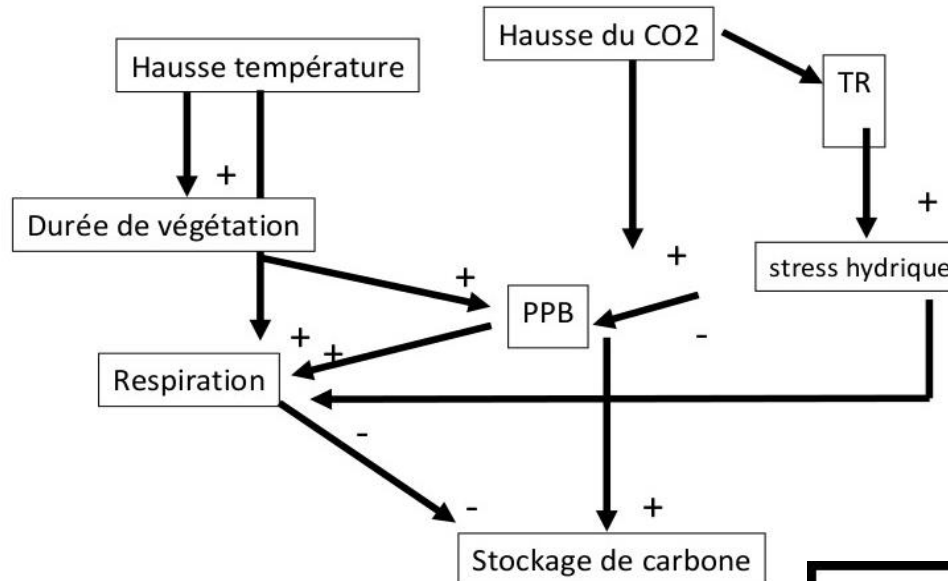


Croissance passée de sapins attaqués ou non par des scolytes

Gillmann 2014

# Impact du stress hydrique sur la séquestration de carbone

Davi 2004



**PPB ou GPP** = Production Primaire

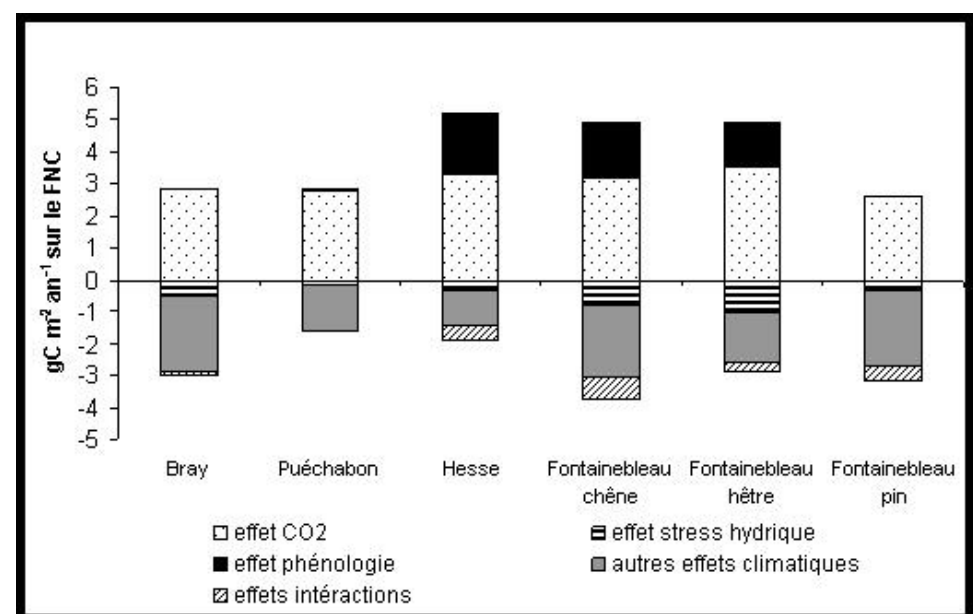
Brute =

$\Sigma$  photosynthèse

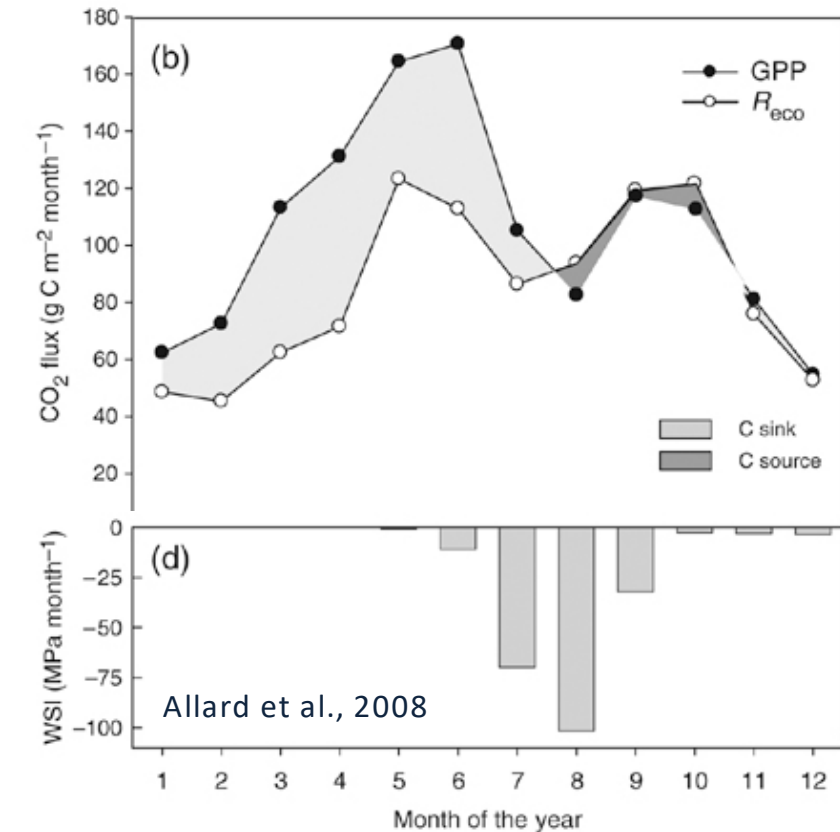
**Respiration** =  $R_{\text{vegetation}} + R_{\text{sol}}$

**NEP** = Stockage de carbone =  
PPB - Respiration

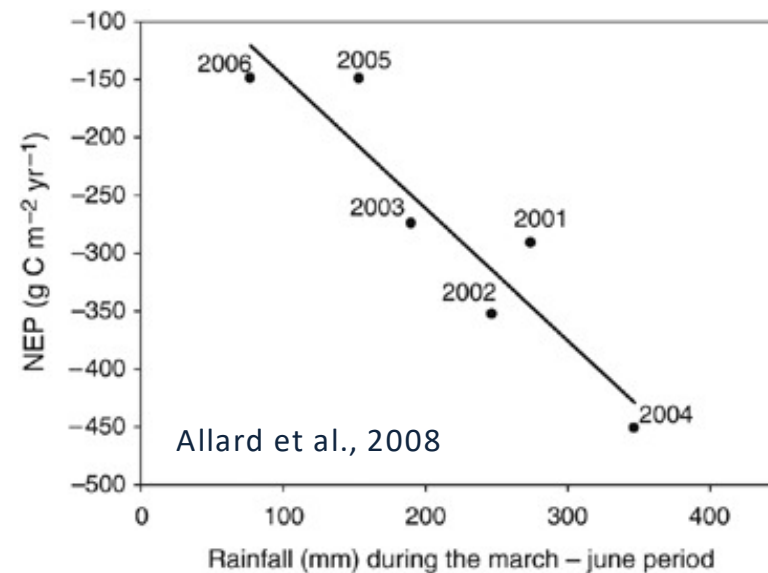
**TR** = Transpiration = perte en eau



# Impact du stress hydrique sur la séquestration de carbone

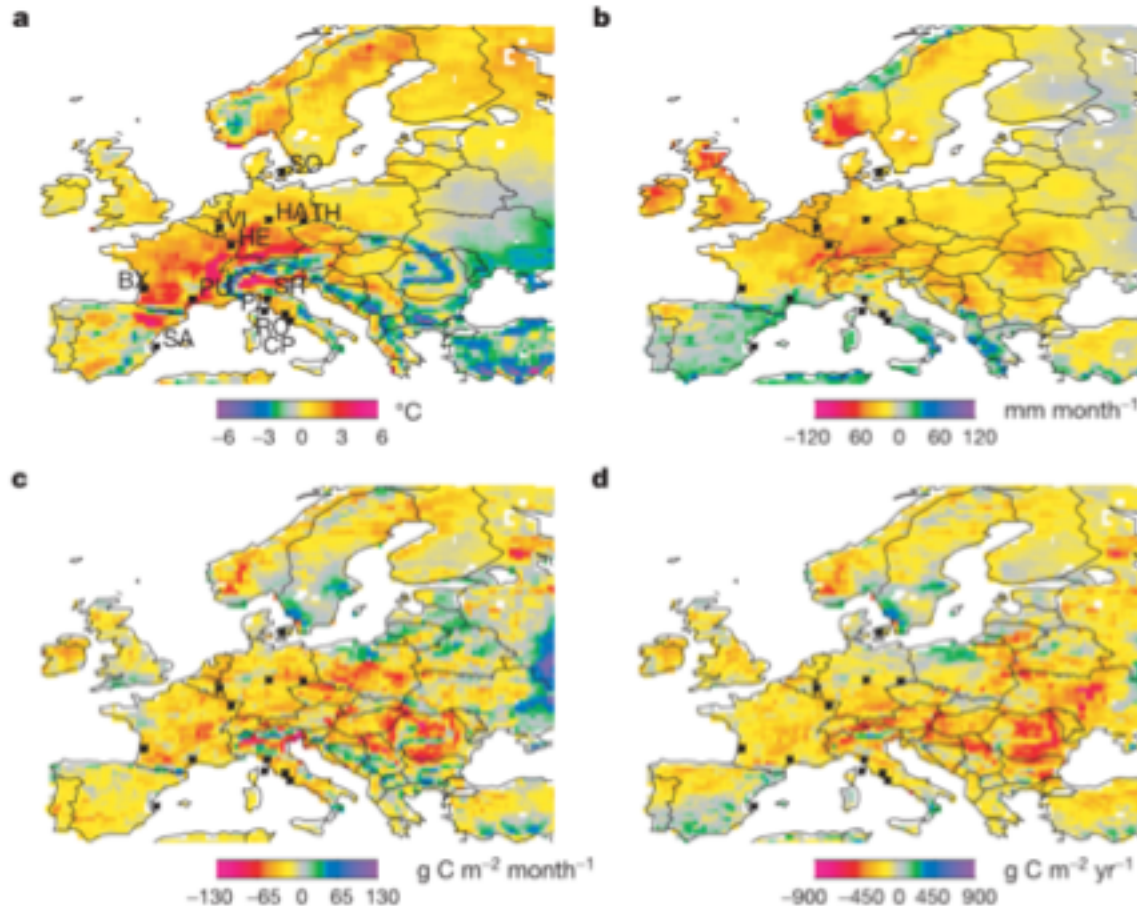


## Séquestration de carbone à Puéchabon Chêne vert



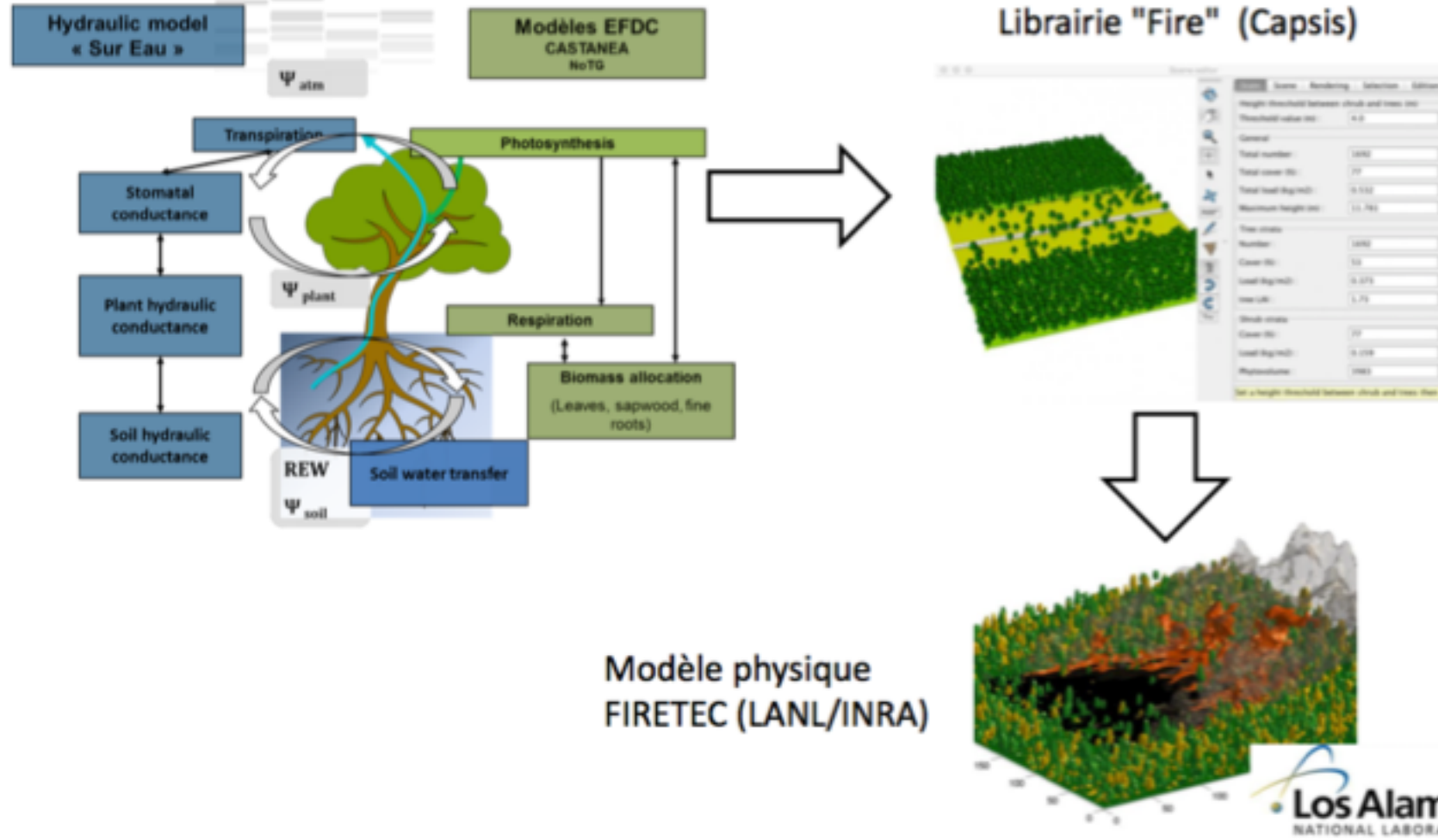
# Impact du stress hydrique sur la séquestration de carbone

2003: réduction de 12 à 20% de la PPN



## Combustible: Biomasse, teneur en eau, % tissu morts

### Vers un couplage des modèles



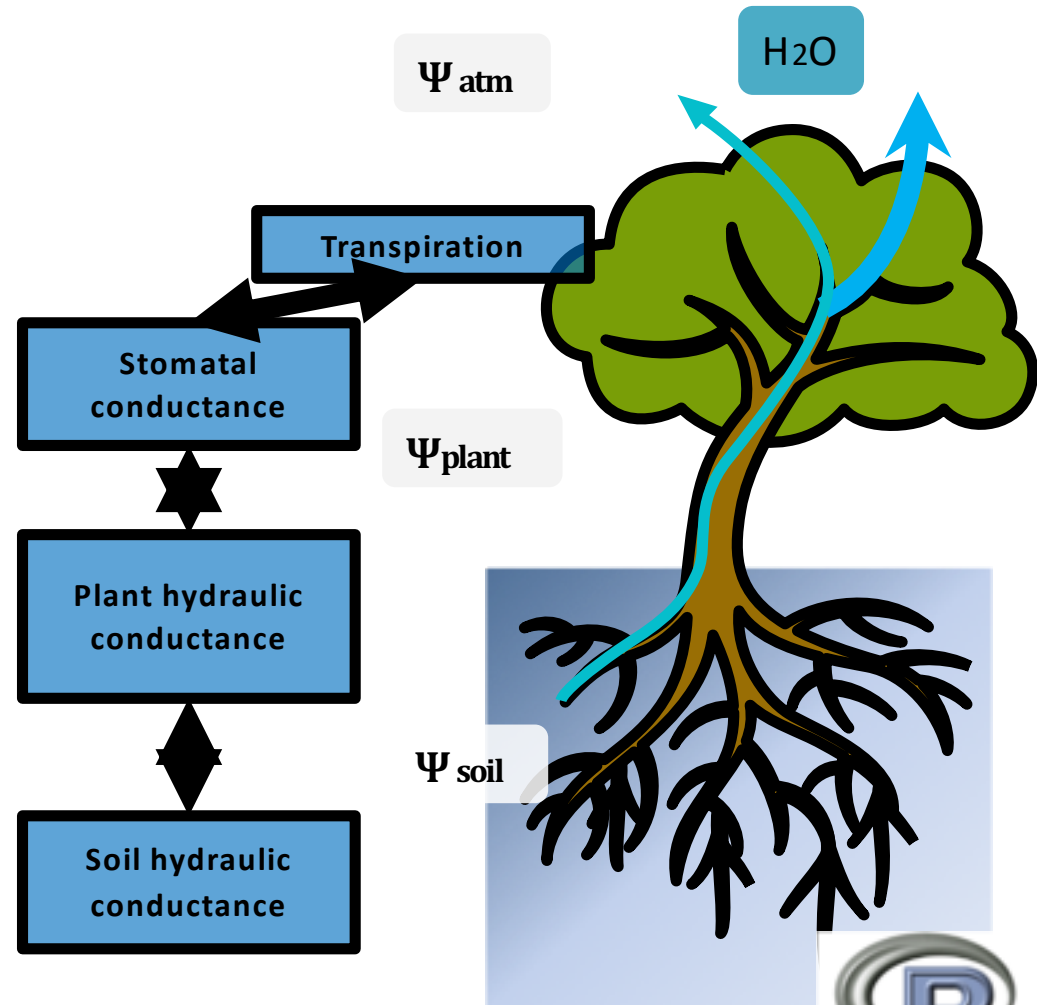
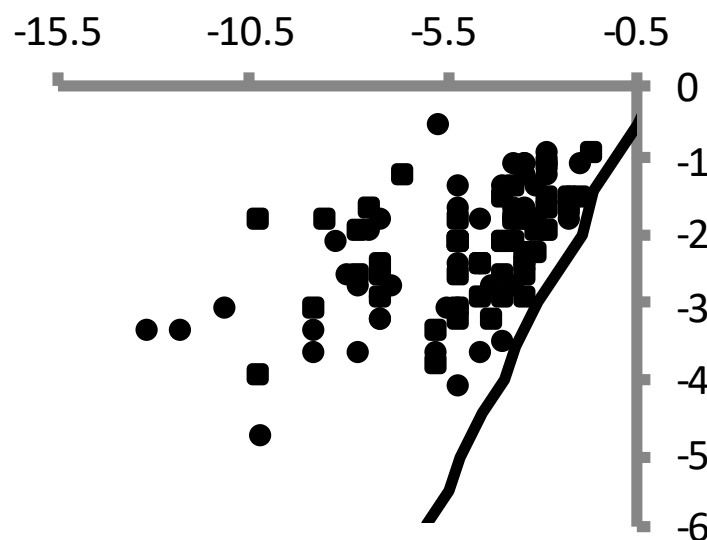
## A partir du modèle « Sur Eau » H. Cochard

### Paramétrisé à partir de traits :

- $P_{12}$ ,  $\Psi_{tlp}$ , G, K<sub>plant</sub>, LA

### Prédition potentielle:

- Mortalité par « hydraulic failure »
- Teneur en H<sub>2</sub>O des tissus vivants



Collaboration :

URFM – PIAF -- Biogeo

Martin-StPaul, Delzon, Cochard *en preparation*



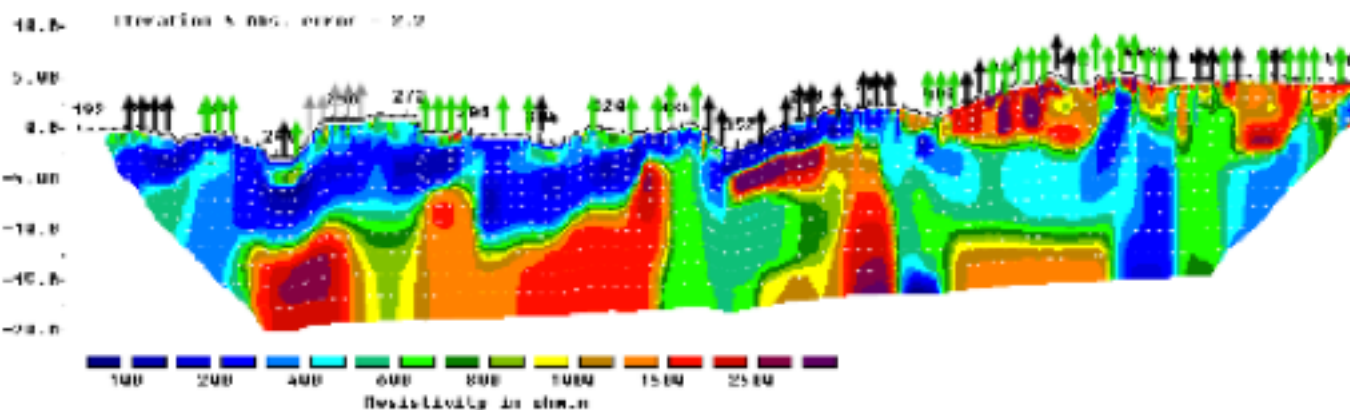
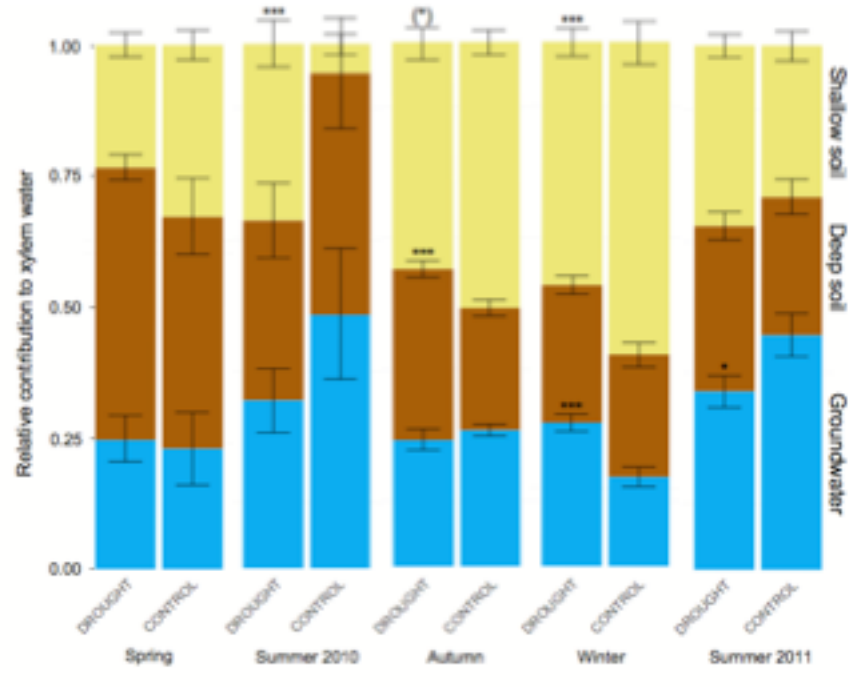
## Sol

### Hétérogénéité des sols forestiers

### Ressources hydriques du sous sol

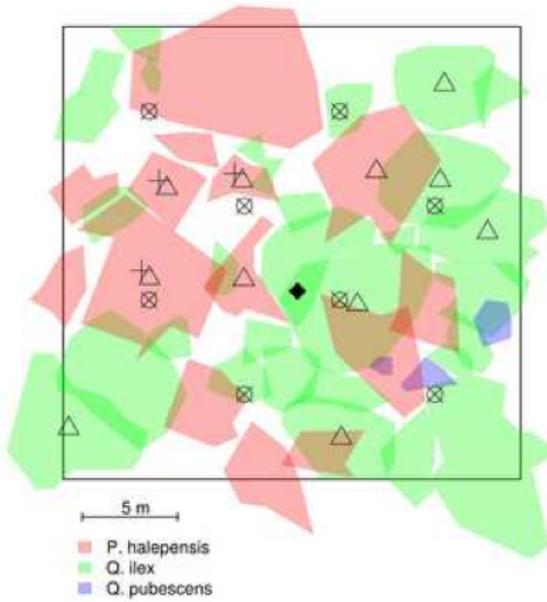
### Azote, phosphore

### Erosion des sols

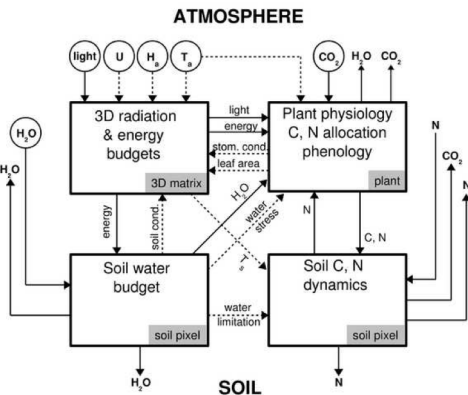
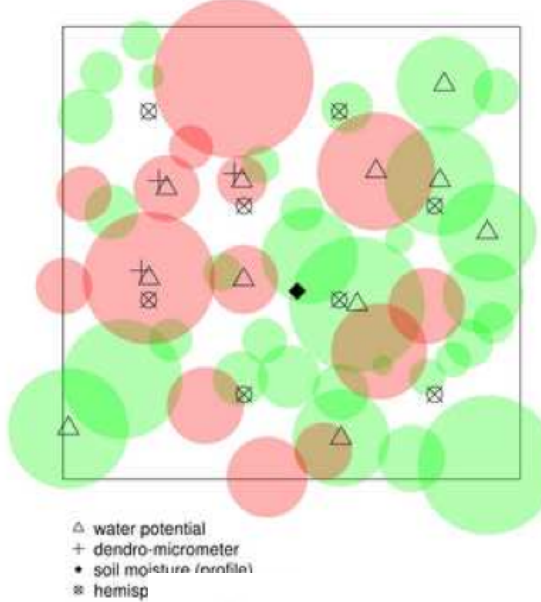


Nourtier et al., 2014

### Measured tree canopies

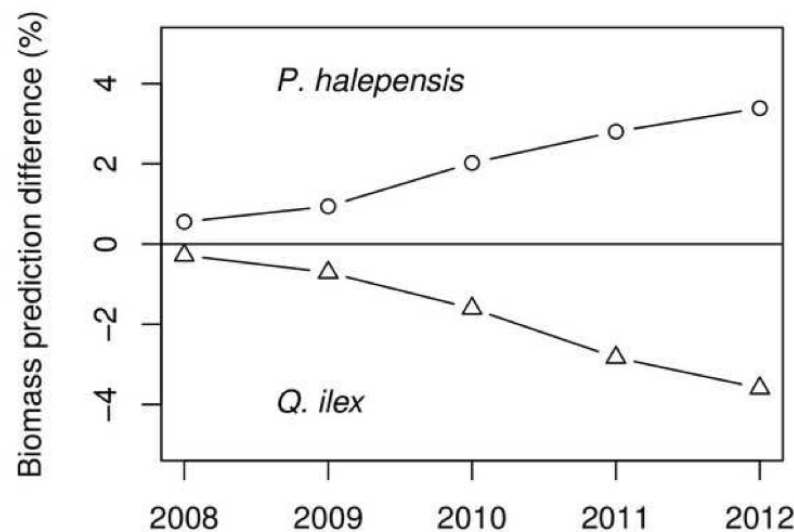


## Simulation map

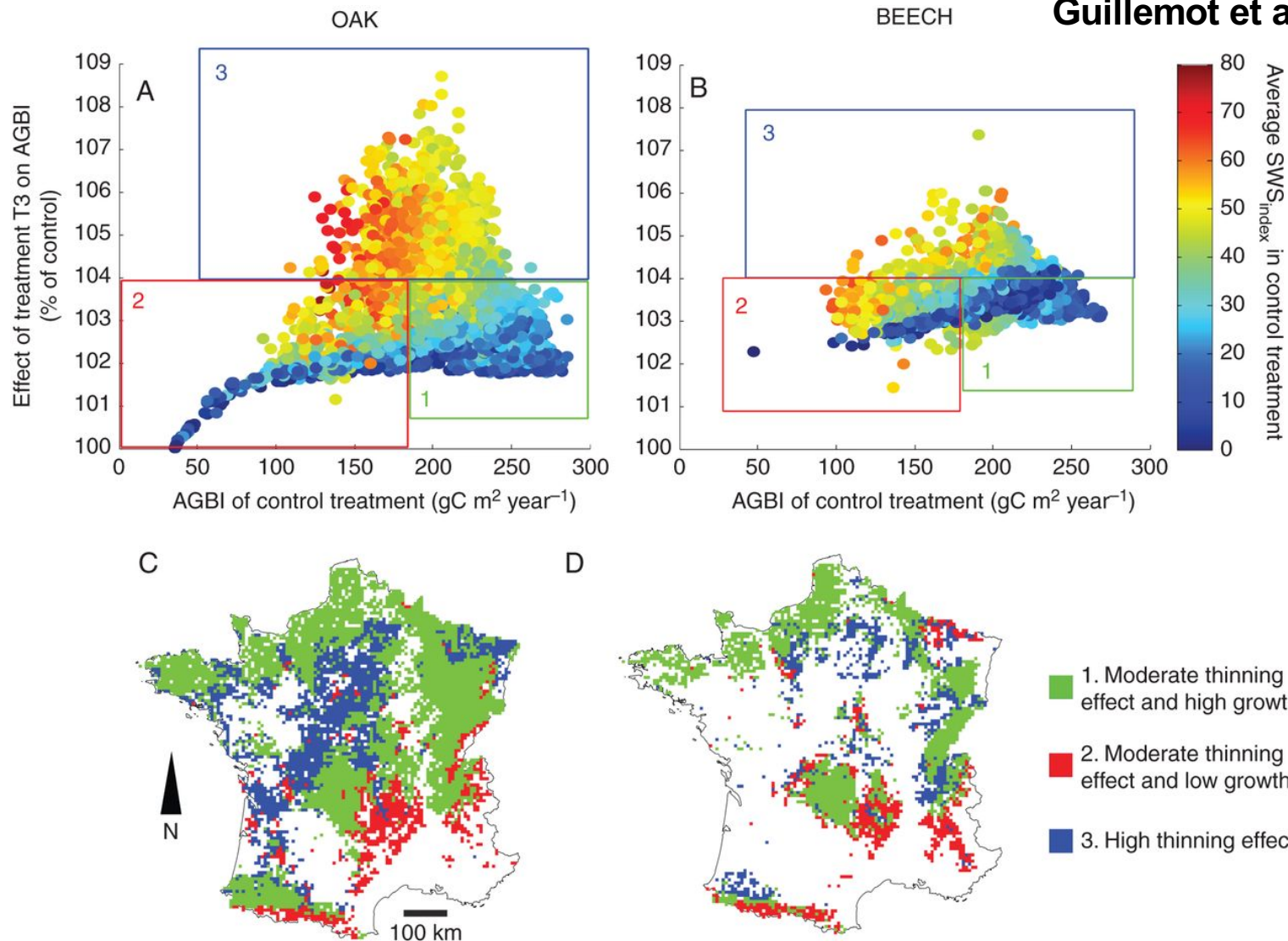


## Modèle NoTG

Marie et al., 2014,  
Simioni et al. 2016



Guillemot et al. 2014



ANNALS OF  
BOTANY



# Conclusion & perspectives: quelles ressources génétiques?

Thèse A. Latreille

Caisse

x 12

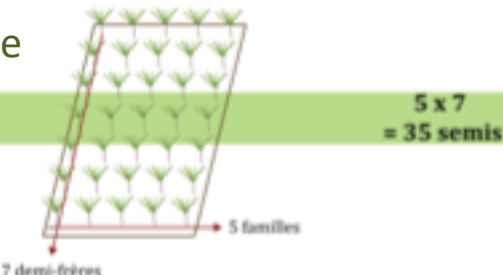
Bloc

x 5

Dispositif  
pour 1  
niveau  
altitudinal

x 9

Dispositif  
complet



$$12 \times 35 = 420 \text{ semis}$$

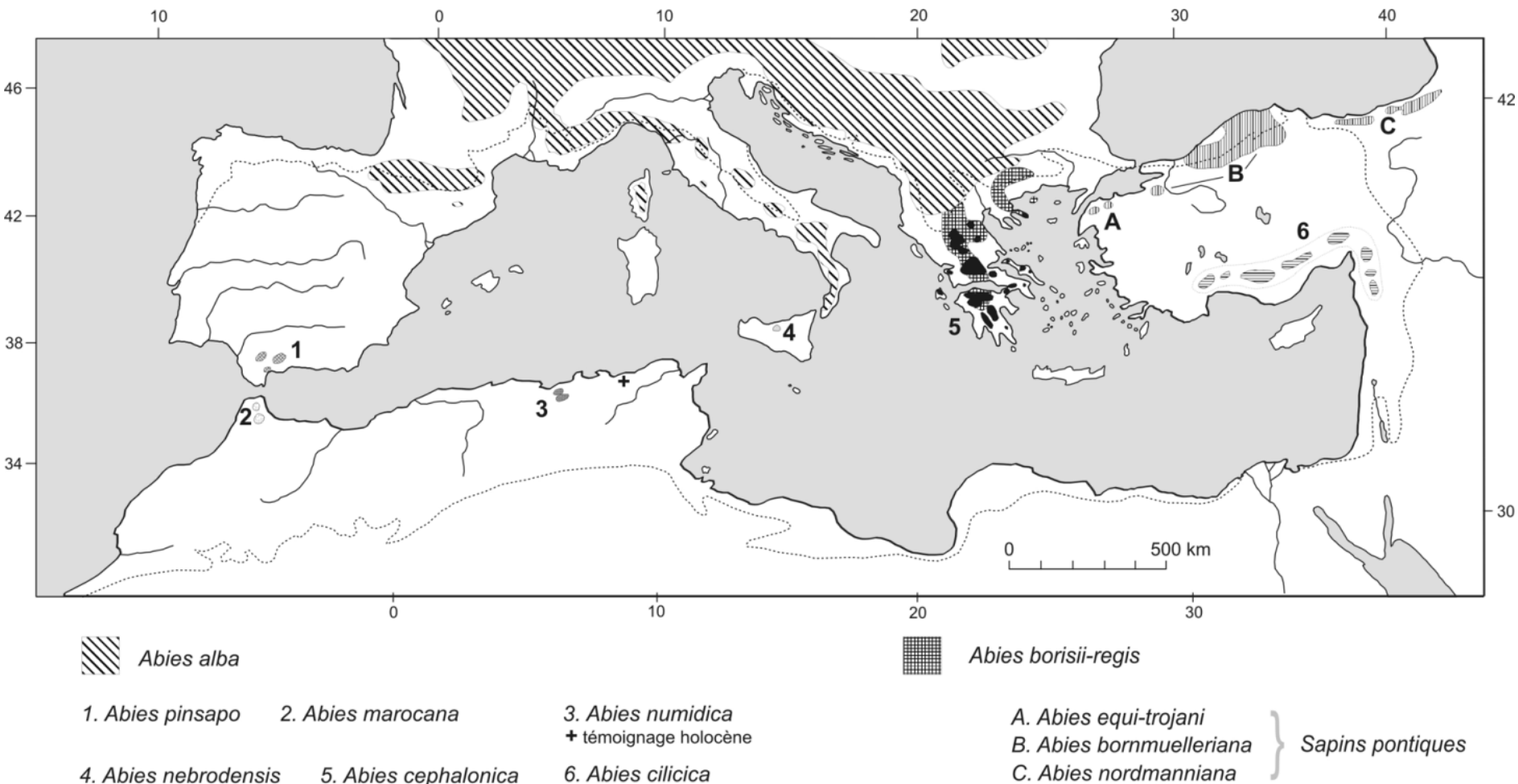
$$420 \times 5 = 2100 \text{ semis}$$

$$2100 \times 9 = 18900 \text{ semis}$$

ANR MECC, GICC GRAAL



## Conclusion & perspectives: quelles ressources génétiques?



## Conclusion & perspectives: quelles ressources génétiques?

